

А.Н. Панченко, В.Ф. Тарасенко, А.Е. Тельминов

## Азотный УФ-лазер с накачкой поперечным разрядом, формирующий двойные импульсы генерации

Институт сильноточной электроники СО РАН, г. Томск

Поступила в редакцию 5.12.2005 г.

Исследованы характеристики генерации и разряда в азотном лазере с накачкой поперечным разрядом от генератора с индуктивным накопителем энергии и SOS-диодами. Показано, что в смеси  $N_2-NF_3$  удается формировать импульсы генерации на длине волны 337,1 нм, состоящие из двух отстоящих друг от друга на 12 нс импульсов, при задержке между максимумами импульсов 25 нс. Получена энергия излучения в импульсе 23 мДж.

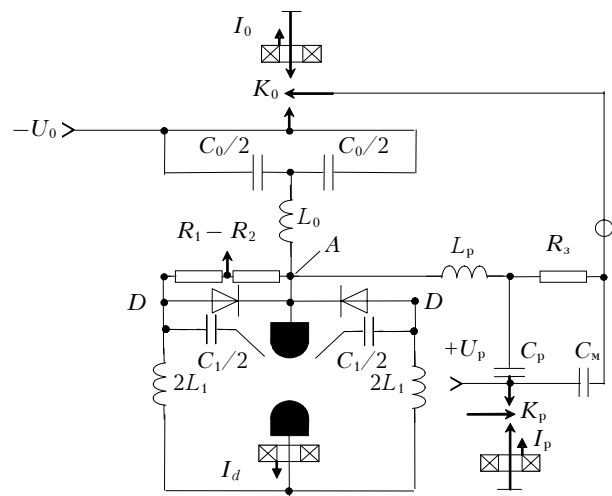
### Введение

Азотные УФ-лазеры (вторая положительная система, электронные полосы  $C^3\Pi_u - B^3\Pi_g$ , наиболее сильные переходы 0–0,  $\lambda = 337,1$  нм и 0–1,  $\lambda = 357,7$  нм) с поперечным разрядом позволяют получать энергию излучения в единицы–десятки миллиджоулей. Наибольшие энергии излучения при возбуждении самостоятельным разрядом достигаются при добавках в рабочую смесь электроотрицательных газов ( $SF_6$ ,  $NF_3$ ,  $F_2$ ), а также при накачке от генераторов с индуктивными накопителями энергии (см. [1–4] и ссылки в этих работах). В работе [4] было показано, что при большой концентрации  $SF_6$  в рабочей смеси можно получать сдвоенные импульсы генерации на  $\lambda = 357,7$  нм. Задержка второго максимума на импульсе генерации относительно первого равнялась 23 нс, одновременно в первом пике наблюдалась генерация на  $\lambda = 337,1$  нм с большей энергией. Общая длительность импульса излучения по основанию  $\sim 40$  нс, суммарная энергия излучения на двух линиях  $\lambda = 337,1$  нм (однопичковая генерация) и  $\lambda = 357,7$  нм (двухпичковая генерация) составила 6 мДж. Энергия излучения в импульсе при этом была в три раза меньше по сравнению с энергией излучения в оптимальной смеси. Появление второго пика в [4] было объяснено увеличением параметра  $E/p$  ( $E$  – напряженность электрического поля на промежутке,  $p$  – давление азота) во время накачки за счет прилипания к электроотрицательному газу  $SF_6$ . Однако исследования данного режима проведены не были. Отметим, что в азотных УФ-лазерах обычно наблюдается один пик генерации.

Цель данной работы – исследовать условия работы азотного электроразрядного лазера, возбуждаемого поперечным разрядом, при которых формируются импульсы генерации, состоящие из двух отдельных пиков, и получить максимальную для этого режима энергию излучения в импульсе.

### 1. Экспериментальная установка и методики

В экспериментах использовался лазер с возбуждением поперечным разрядом и системой предъонизации от искровых промежутков, подобный лазер использовался в [4]. Установка позволяла формировать объемный разряд при повышенных давлениях и оптимальных значениях параметра  $E_0/p$  ( $E_0$  – максимальная напряженность электрического поля на промежутке перед его пробоем). Для накачки применялся универсальный генератор, позволяющий осуществлять возбуждение как от индуктивного, так и от емкостного накопителей энергии (рис. 1).



Предыонизация разрядного промежутка осуществлялась от 72 искровых промежутков, равномерно расположенных с обеих сторон от анода. Величины емкостей и индуктивностей были следующие:  $C_0 = 70$  нФ,  $C_1 = 2,45$  нФ,  $C_m = 1,5$  нФ,  $C_p = 36$  или  $10$  нФ,  $L_0 = 24,5$  нГ,  $L_1 = 11$  нГ и  $L_p = 0,87$  или  $3,13$  мГ. При накачке от индуктивного накопителя длительность тока разряда составила примерно  $200$  нс, а при накачке от емкостного накопителя  $C_0$  (в этом случае отключались  $C_p$  и  $L_p$  в точке  $A$ , рис. 1) длительность импульса тока разряда возрастила до  $\sim 250$  нс. Лазер имел активный объем  $4 \times 0,6 - 1,5 \times 72$  см<sup>3</sup>.

В лазере использовались профилированные электроды, которые существенно уменьшали неоднородности электрического поля (локальное усиление поля на электродах и в разрядном промежутке). Электроды изготавливались из нержавеющей стали. Межэлектродный зазор  $d$  равнялся  $4$  см. Активный объем в различных экспериментальных условиях менялся из-за изменения ширины разрядной области, которая зависела от зарядного напряжения, состава и давления смеси. Характеристики разряда и генерации изучались в чистом азоте и смесях азота с  $NF_3$  при давлениях  $10 - 150$  торр.

Энергия излучения измерялась калориметром ОРНИР с сенсорными головками FL-250A, РЕ-50ВВ. Для регистрации временного профиля импульса излучения использовался вакуумный фотодиод ФЭК-22 СПУ, на который при помощи светоделильной пластинки направлялась часть лазерного излучения. Спектр излучения азотного лазера регистрировался про помоши спектрометра StellarNet EPP2000-C25 с разрешением  $2$  нм. Для ослабления лазерного и спонтанного излучения использовалась специальная оптическая схема. Излучение азотного лазера отражалось двумя алюминиевыми зеркалами для увеличения расстояния от разрядной области и после дополнительного ослабления направлялось в спектрометр. Ослабление осуществлялось с помощью последовательности металлических сеток и зеркал с диэлектрическим покрытием. Такая оптическая схема позволяла при снятии спектра регистрировать только лазерное излучение.

Напряжение на электродах лазера и ток разряда определялись с помощью делителя напряжения и пояса Роговского. Электрические сигналы подавались на осциллографы TDS-220 или TDS-224. Чтобы отсечь шумовую компоненту в сигнале, осциллографы размещались в экранированной комнате. Питание осциллографов осуществлялось через разделительный трансформатор.

## 2. Экспериментальные результаты и их обсуждение

Вначале была проведена оптимизация энергии излучения в импульсе по составу и давлению смеси. Максимальные энергии были получены при давлении азота  $\sim 75$  торр и  $NF_3 \sim 3$  торр. В дальнейших экспериментах обычно использовалась рабочая смесь  $N_2/NF_3 = 75/3$  торр. Основные результаты приведены на рис. 2–4.

**Азотный УФ-лазер с накачкой поперечным разрядом, формирующий двойные импульсы генерации**  
10. Оптика атмосферы и океана, № 2–3.

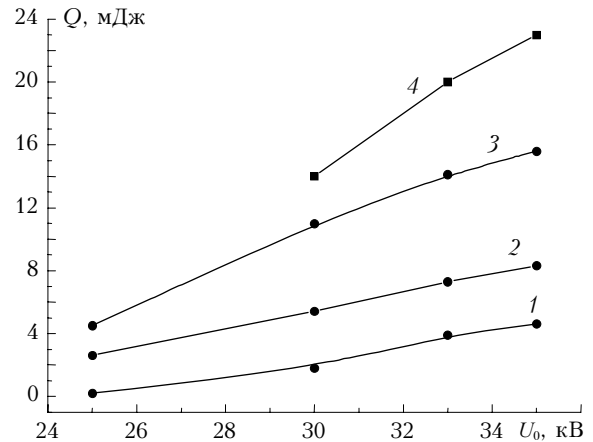


Рис. 2. Зависимость выходной энергии азотного лазера от зарядного напряжения: 1 — накачка от генератора с емкостным накопителем чистого азота; 2 — накачка от генератора с индуктивным накопителем чистого азота при  $C_p = 36$  нФ,  $U_p = 20$  кВ; 3 — накачка от генератора с индуктивным накопителем при  $C_p = 36$  нФ,  $U_p = 20$  кВ, смесь  $N_2 + NF_3$ ; 4 — накачка от генератора с индуктивным накопителем при  $C_p = 10$  нФ,  $U_p = 20$  кВ, смесь  $N_2 + NF_3$

При работе на выбранной смеси увеличение напряжения приводило к росту энергии излучения в импульсе как для емкостного накопителя энергии (кривая 1), так и для генератора с индуктивным накопителем энергии (кривые 2–4). Переход от емкостного накопителя к индуктивному накопителю позволял значительно увеличить энергию излучения в импульсе (кривые 1, 2). Применение смеси с электроотрицательным газом по сравнению с чистым азотом давало дополнительно двукратное увеличение энергии излучения (кривые 2, 3). Максимальная энергия излучения в импульсе  $23$  мДж была получена при использовании индуктивного накопителя энергии, смеси с  $NF_3$  и при уменьшении энергии в конденсаторе  $C_p$  (кривая 4).

На рис. 3 приведены осцилограммы импульсов напряжения, тока разряда и импульсов генерации для оптимальных условий возбуждения. Видно, что при обоих генераторах регистрируются импульсы генерации, состоящие из двух пиков. Задержка между максимумами импульсов генерации составила  $\sim 25$  нс. В данных экспериментах, в отличие от [4], наблюдалась пауза между отдельными импульсами (пиками). Длительность паузы составила около  $12$  нс. Кроме того, в данной работе, благодаря оптимизации лазера, удалось получить двухпиковую генерацию при максимальных энергиях излучения, реализованных при наибольших зарядных напряжениях в оптимальной рабочей смеси. С уменьшением зарядного напряжения отношение амплитуд первого пика генерации ко второму увеличивалось, а при малых зарядных напряжениях второй пик исчезал.

Анализ осцилограмм тока и напряжения на рис. 3, а также наблюдения за характером разряда показывают, что применение генератора с индуктивным накопителем энергии позволило улучшить однородность разряда и работать со смесями, содержащими большее парциальное давление  $NF_3 \sim 7,5$  торр.

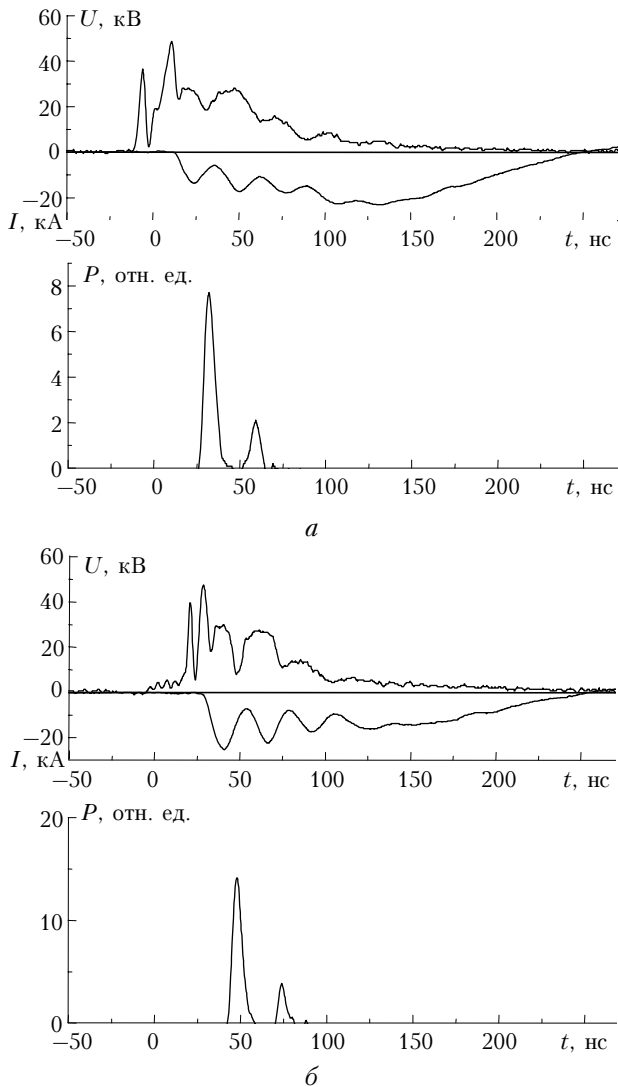


Рис. 3. Осциллографмы импульсов напряжения на разрядном промежутке, тока разряда и лазерного излучения: смесь  $N_2/NF_3 = 75/3$  торр;  $C_p = 10 \text{ нФ}$ ;  $C_0 = 70 \text{ нФ}$ ;  $C_1 = 2,45 \text{ нФ}$ ;  $U_p = 27 \text{ кВ}$ ;  $U_0 = 35 \text{ кВ}$ ; *а* – лазер с емкостным накопителем энергии; *б* – лазер с индуктивным накопителем энергии

В этом режиме генерация состояла из одного пика, а энергия излучения уменьшилась всего до 15,5 мДж. Однако при большой концентрации  $NF_3$  ток разряда обрывался через 40 нс и часть энергии оставалась в конденсаторе  $C_0$ , что уменьшало вложенную в газ энергию. Расчет кпд лазера от вложенной в разряд энергии в этом режиме дал величину 0,17%. Это достаточно высокий кпд для азотного лазера, который обычно не превышает 0,1%. Эксперименты при больших концентрациях  $NF_3$  в смеси не проводились из-за сильного уменьшения энергии излучения в импульсе, отсутствия пробоя промежутка или/и контрагирования разряда.

На рис. 4 приведены спектрограммы импульса генерации. В данных условиях, в отличие от [4], основной является линия с длиной волны 337,1 нм. Видно, что ей принадлежит более 95% энергии. Также наблюдалась слабая генерация на  $\lambda = 357,7$  и 316 нм (переход 1–0).

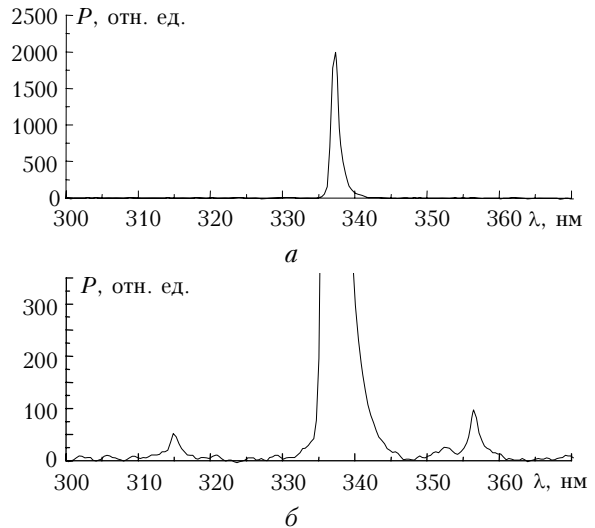


Рис. 4. Спектр излучения азотного лазера с накачкой от генератора с индуктивным накопителем энергии: смесь  $N_2/NF_3 = 75/3$  торр,  $U_0 = 35 \text{ кВ}$ ,  $C_p = 10 \text{ нФ}$ ,  $U_p = 25 \text{ кВ}$ ; *а* – с ослаблением 250 раз; *б* – с ослаблением 50 раз

Благодаря оптимальному давлению рабочей смеси и применению профилированных электродов (расширяющих область разряда при увеличении зарядного напряжения), удалось сохранить оптимальную мощность возбуждения и реализовать генерацию преимущественно на  $\lambda = 337,1 \text{ нм}$ . Как было показано в [4], генерация на  $\lambda = 357,7 \text{ нм}$  появляется при более высоких мощностях накачки и при увеличении концентрации электроотрицательного газа  $SF_6$  в смеси.

Азотный лазер относится к лазерам на самоограниченных переходах и требует сравнительно высокой средней энергии электронов, необходимой для эффективного возбуждения верхнего лазерного уровня ( $> 11,7 \text{ эВ}$ ). Поэтому на промежуток подается импульсное напряжение в несколько раз больше статического пробивного напряжения. Оптимальное значение параметра  $E_0/p$  при этом должно составлять 150–200 В/(см·торр) [3]. Однако за счет лавинного размножения электронов при высоких напряжениях величина параметра  $E/p$  после пробоя промежутка быстро уменьшается и генерация прекращается. Добавки электроотрицательных газов приводят к уменьшению скорости спада напряжения на промежутке и позволяют увеличить длительность импульса генерации [1–4].

В данном лазере за счет применения  $NF_3$ , в котором большой коэффициент прилипания при высоких значениях параметра  $E/p$  [5], и модуляции полного тока разряда током обострительного конденсатора  $C_1$  на импульсе напряжения формировались два пика с  $E/p > 90 \text{ В}/(\text{см} \cdot \text{торр})$  (см. рис. 3). Причем при увеличении  $E/p$  в данной схеме генератора наблюдалось и увеличение тока разряда. Данной величины  $E/p$  хватало для нагрева электронов до энергии, необходимой для преимущественного возбуждения верхнего лазерного уровня, а мощность накачки за счет увеличения тока разряда была достаточна для повторного достижения порога генерации.

## Заключение

Таким образом, в данной работе реализован режим двухпичковой генерации на длине волны 337,1 нм при накачке от генератора как с индуктивным, так и с емкостным накопителями энергии. Показано, что второй импульс генерации формируется благодаря повторному увеличению параметра  $E/p$  во время импульса накачки и модуляции полного тока разряда током обострительного конденсатора. Данный режим работы азотного лазера может найти практическое применение в работах, требующих воздействия на объект двумя импульсами УФ-излучения.

Работа поддержана Международным научно-техническим центром, проект № 2596.

1. Rebhan U., Hildebrandt J., Skopp G. A High Power N<sub>2</sub>-Laser of Long Pulse Duration // Appl. Phys. 1980. V. 23. P. 341–344.
2. Armandillo E., Kearsley A.J. High-power nitrogen laser // Appl. Phys. Lett. 1982. V. 41. N 7. P. 611–613.
3. Тарасенко В.Ф. Эффективность азотного УФ-лазера с накачкой самостоятельным разрядом // Квант. электрон. 2001. Т. 31. № 6. С. 489–494.
4. Алексеев С.Б., Бакшт Е.Х., Костыря И.Д., Орловский В.М., Панченко А.Н., Тарасенко В.Ф. УФ-лазеры на смесях N<sub>2</sub>–SF<sub>6</sub> и N<sub>2</sub>–NF<sub>3</sub> с накачкой поперечным и продольным разрядом // Квант. электрон. 2004. Т. 34. № 11. С. 1033–1039.
5. Калюжная А.Г., Рябцев А.В., Щедрин А.И. Особенности функции распределения электронов в тлеющем разряде с полым катодом в смесях азота с электроотрицательными газами // Ж. техн. физ. 2003. Т. 73. Вып. 1. С. 42–45.

*A.N. Panchenko, V.F. Tarasenko, A.E. Tel'minov. UV nitrogen lasers pumped by transverse discharges forming double pulses of laser generation.*

Laser parameters of nitrogen laser pumped by transverse discharges from inductive pumping generator were studied. It was shown that in the mixture N<sub>2</sub>–NF<sub>3</sub> it is possible to obtain two laser pulses at  $\lambda = 337,1$  nm spaced by 12 ns with a lag between pulse maxima of 25 ns. Laser output of 23 mJ was obtained.